

Fig. 1b

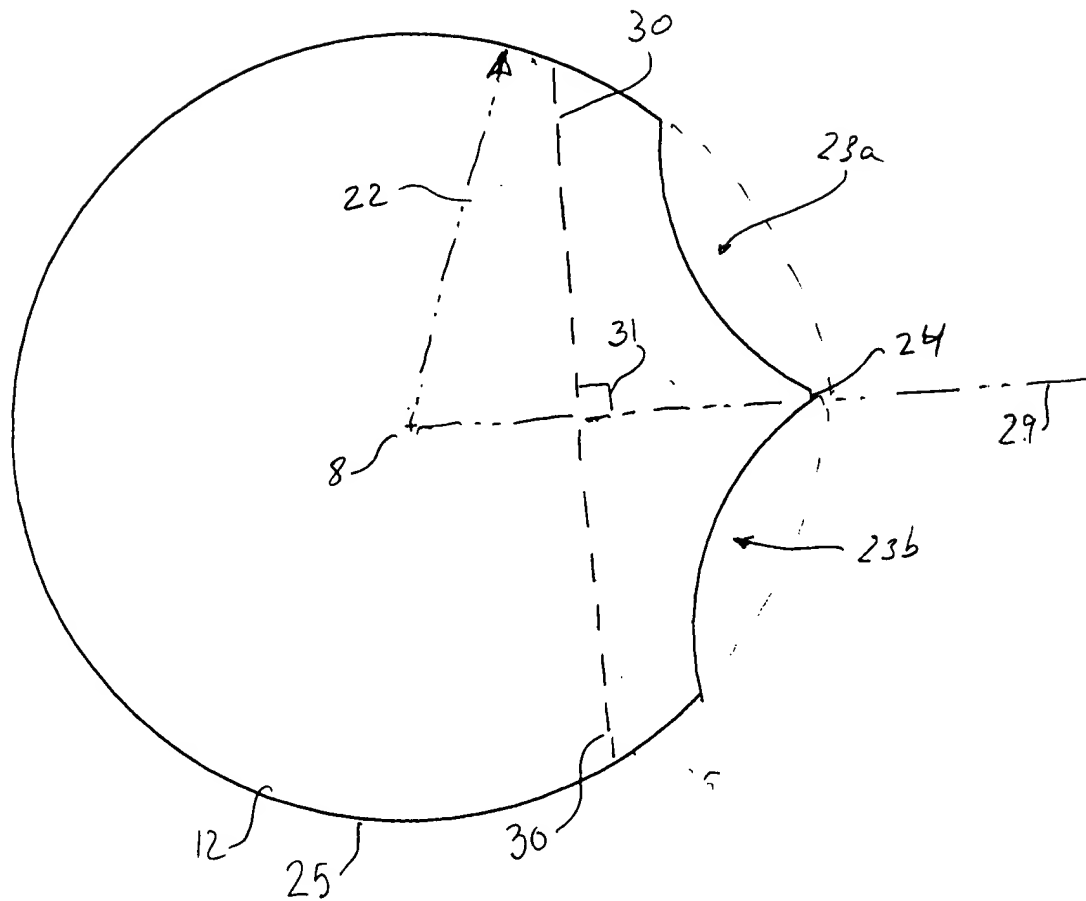


Fig. 1c

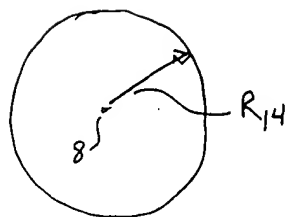


Fig. 1d

Docket No. 363
Hooverville et al
Sheet 2 of 10

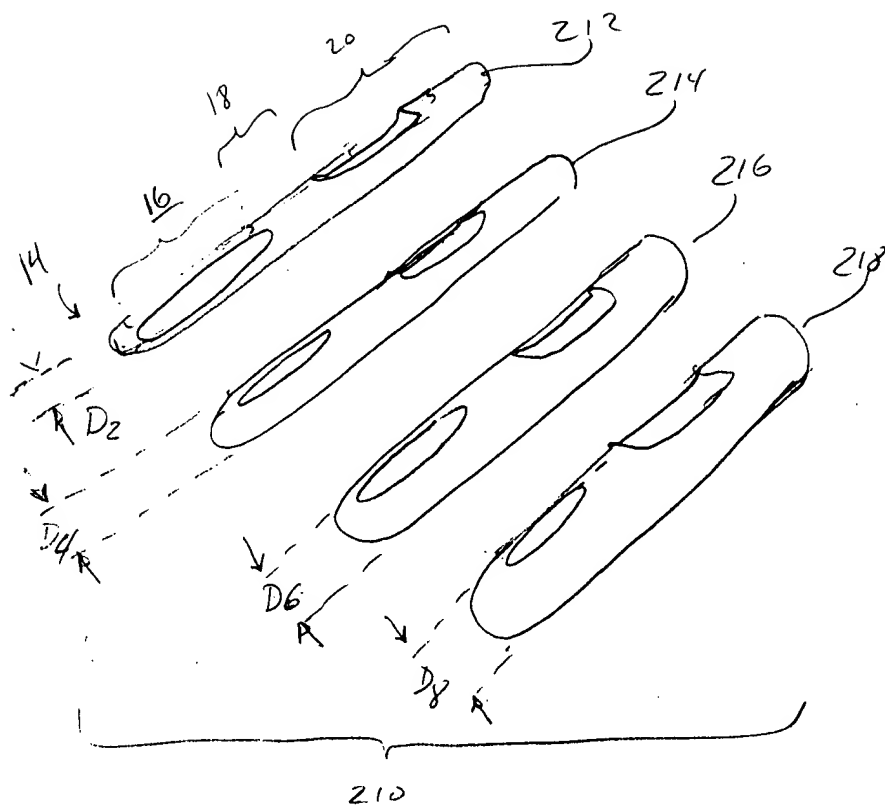


Fig. 2

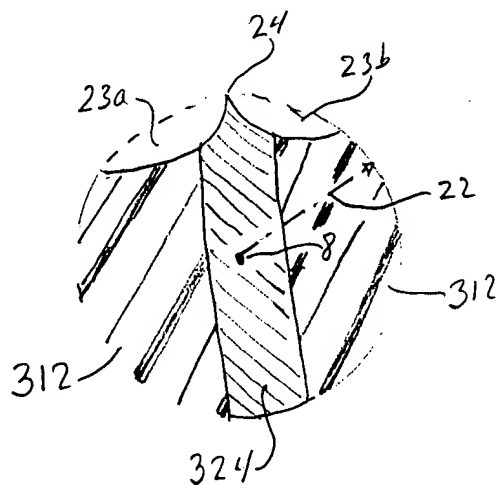


Fig. 3

Docket No. 363
Mooreville et al
Sheet 3 of 10

868270 2222760

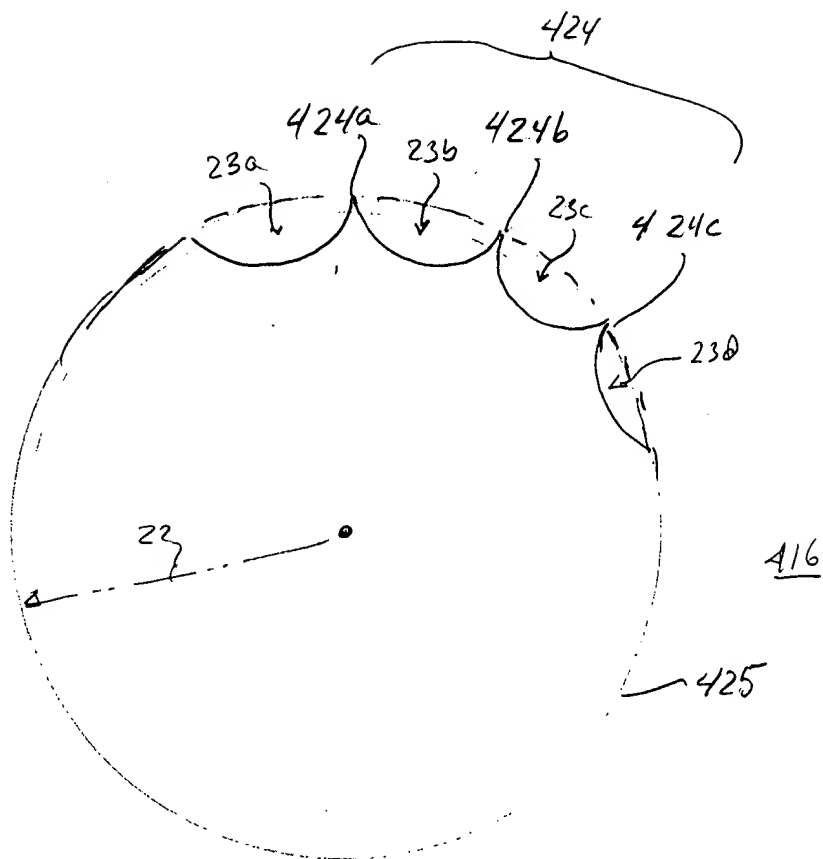


Fig. 4

868270 4222160

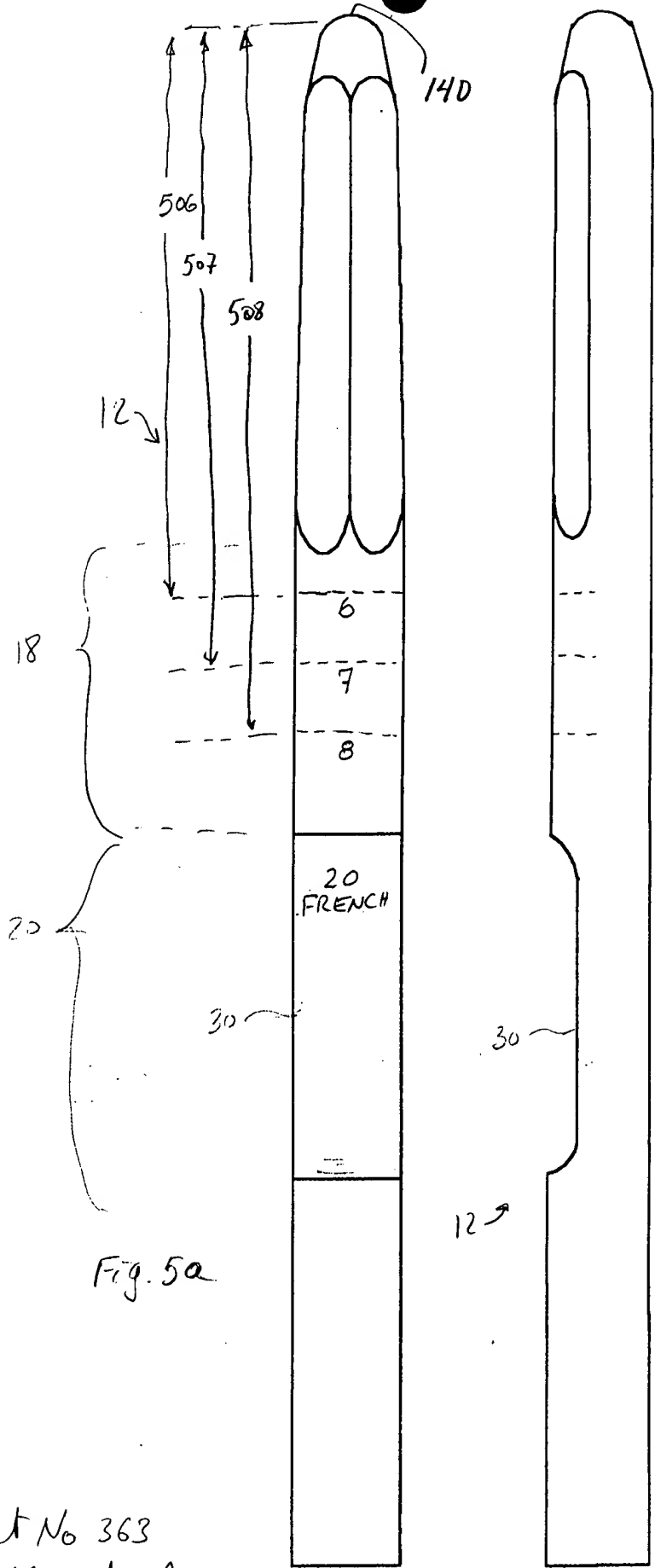
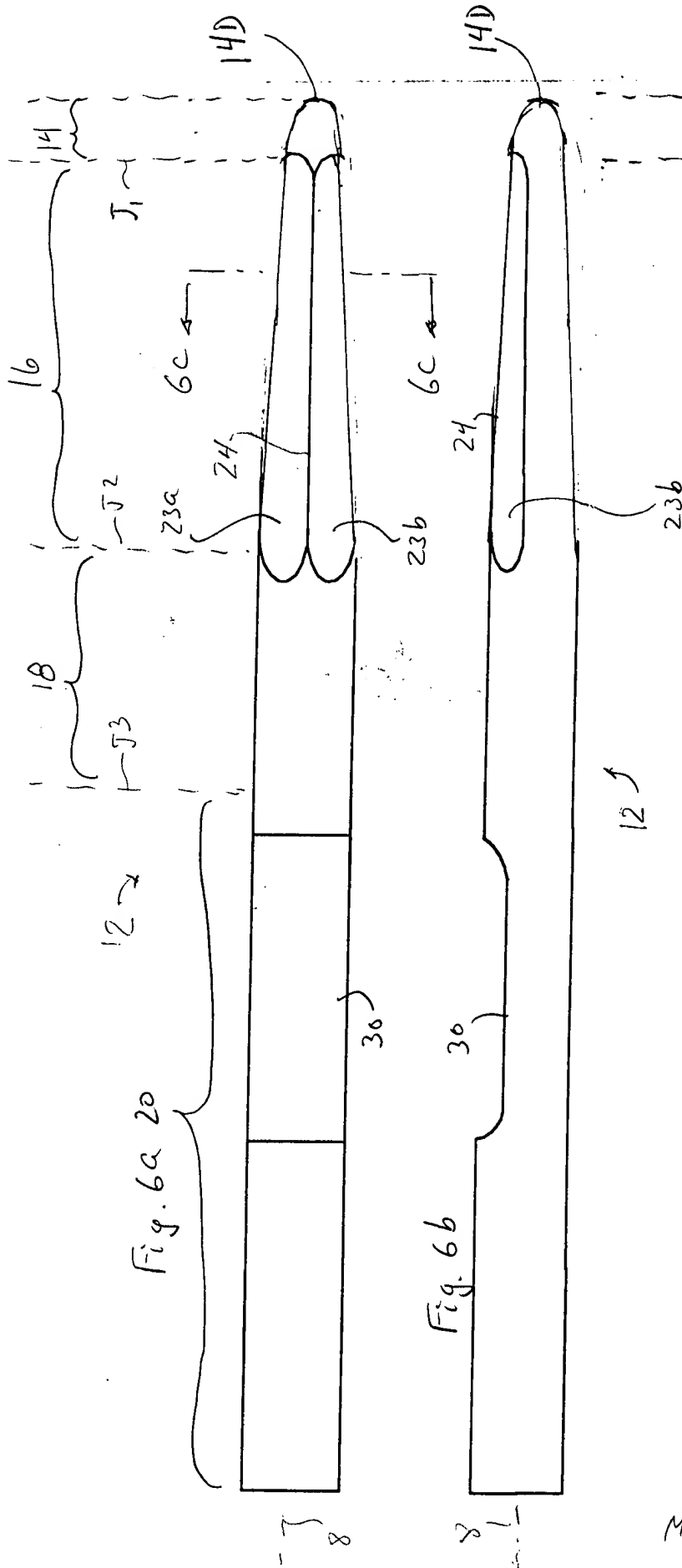


Fig. 5a

Fig. 5



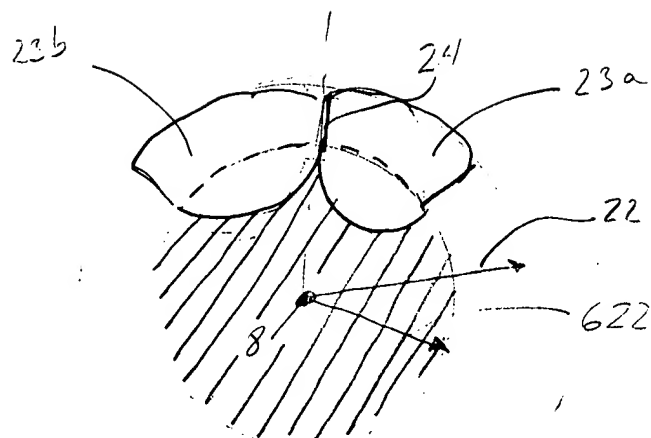


Fig. 6c

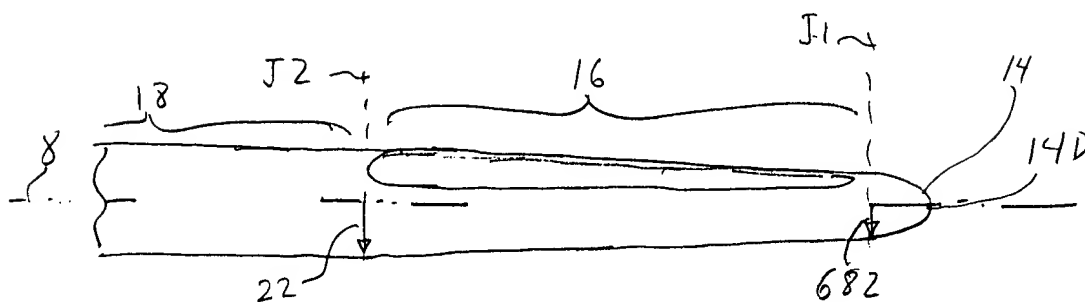


Fig. 6d

DOCKET No 363
MOOREVILLE et al
Sheet 7 of 10

0912327.07898
868240/222760

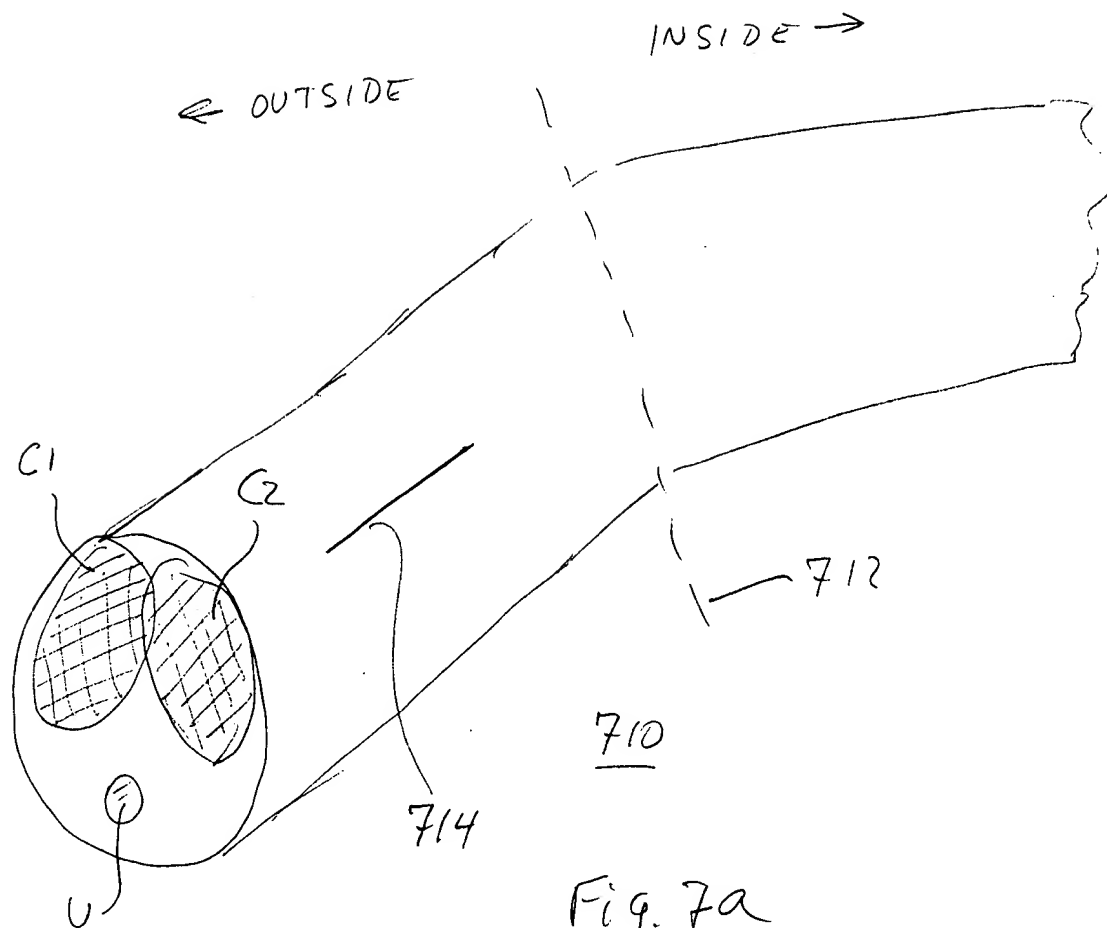
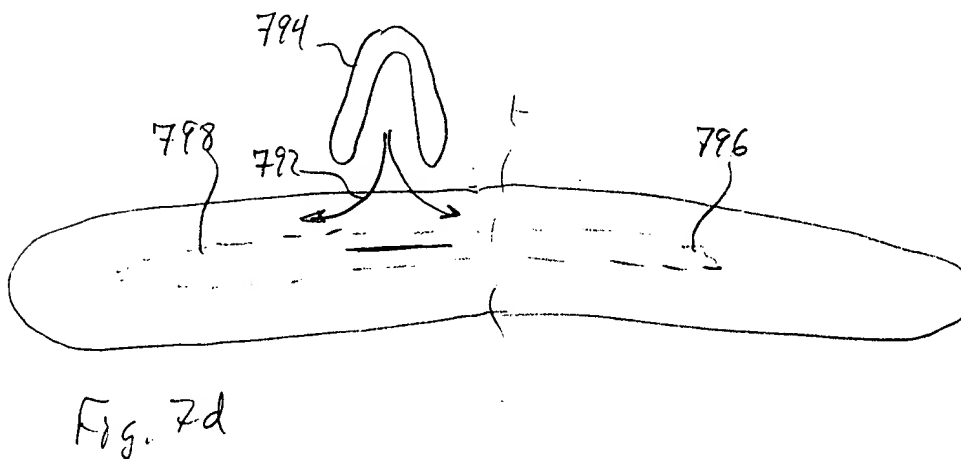
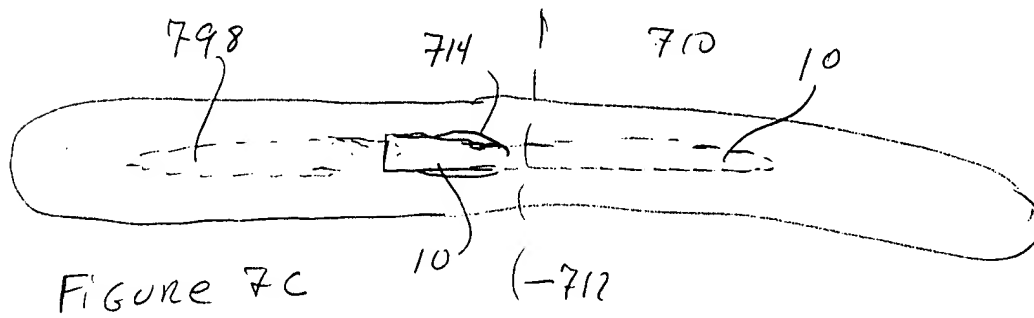
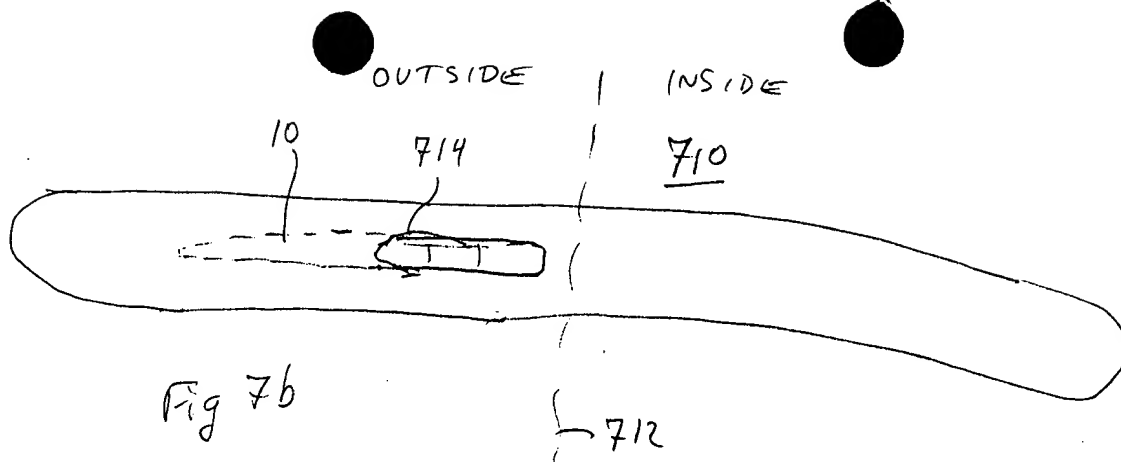


Fig. 7a

DOCKET No. 363
Mooreville et al
Sheet 8 of 10



868220-072898

863220-4222160

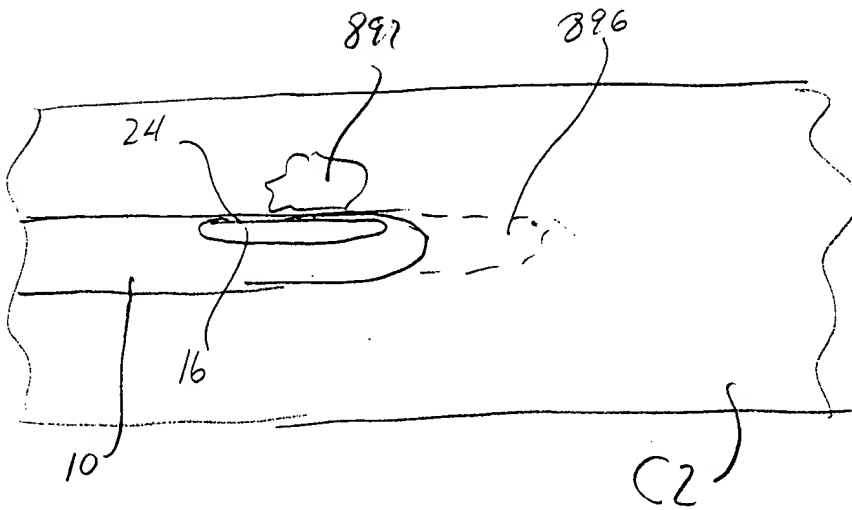


Fig. 8

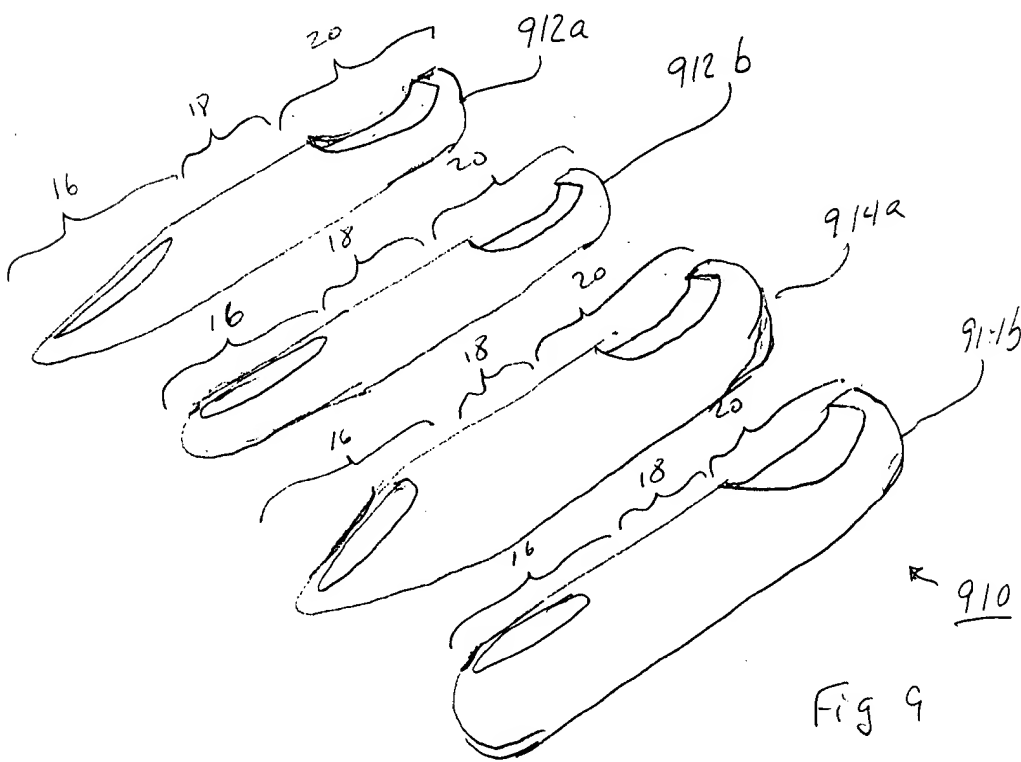


Fig 9